Автоматизация проектирования полосовых фильтров на поверхностных акустических волнах

А. С. Койгеров

Санкт-Петербургский государственный электротехнический университет "ЛЭТИ" им. В.И. Ульянова (Ленина)

a.koigerov@gmail.com

Аннотация. работе рассмотрен проектированию полосовых фильтров на поверхностных акустических волнах (ПАВ). Среди множества требований к полосовым фильтрам на ПАВ можно выделить не только требования к качеству характеристик - уменьшение вносимого затухания в полосе пропускания, увеличение гарантированного относительного затухания в полосе заграждения и т. д., но и требования по сокращению времени разработки фильтра. Уменьшение времени разработки с одновременным снижением затрат на нее достигается путем предварительного моделирования. Данную задачу можно решить за счет использования системы автоматизированного проектирования возможностью решения задач оптимизации с большим числом степеней свободы. Рассчитан и изготовлен резонаторный фильтр на вытекающих ПАВ на подложке 36° Y-X среза танталата лития.

Ключевые слова: акустоэлектроника; поверхностная акустическая волна; фильтр на ПАВ; МКЭ; модель связанных мод; оптимизация

I. Введение

На сегодняшний день устройства, использующие поверхностные акустические волны (ПАВ) — включая полосовые фильтры, линии задержки и резонаторы — активно применяются в разнообразной электронной аппаратуре, предназначенной для систем связи, радиолокации и телекоммуникации. Наибольшая востребованность подобных устройств наблюдается в частотном диапазоне от нескольких десятков мегагерц до 2,5-3 $\Gamma\Gamma$ ц [1-3].

приоритетных задач проектирования устройств на ПАВ является повышение точности вычислений при одновременном сокращении разработки И снижении сопутствующих ресурсных затрат. Анализ публикаций демонстрирует высокий уровень интереса моделированию с использованием метода конечных элементов, отличающегося высокой вычислительной нагрузкой и значительными временными затратами. Повышение эффективности проектного процесса может обеспечено внедрением автоматизированных систем, основанных на аналитических расчетных методах с возможностью проведения параметрической оптимизации [7, 8].

Цель настоящей работы состоит в формировании и обосновании методологического подхода к проектированию, а также в разработке программного комплекса, реализующего моделирование устройств на ПАВ и обеспечивающего оптимизацию параметров топологии полосового фильтра на ПАВ.

II. Концепция подхода к проектированию

Предложенный подход к синтезу устройств с заданными параметрами основан на интеграции ряда ключевых функциональных модулей, представленных на схеме (рис. 1). Методология включает следующие этапы: аналитический этап, включающий анализ технического задания; этап структурного синтеза; этап параметрического синтеза; а также технологический этап, охватывающий процессы изготовления устройства.

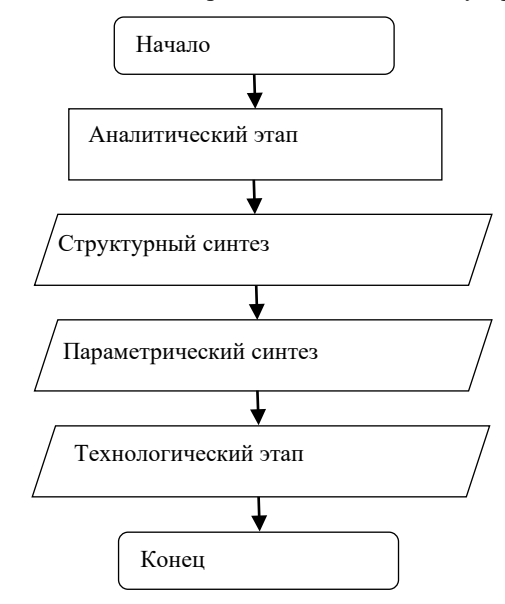


Рис. 1. Блок схема подхода

А. Аналитический этап

Аналитический включает этап детальное требований, технических исследование существующих прототипов, а также обзор литературы. данном этапе формулируются специфические проектные ограничения и предпочтения, на основе которых осуществляется выбор наиболее рациональной конструктивной схемы фильтра. сравнительный анализ доступных решений и оценка альтернативных вариантов реализации с точки зрения технической осуществимости. В результате, опираясь на данные профессиональный собранные И разработчика, формируется множество возможных подходов к решению задачи, что служит основанием для перехода к следующему этапу – структурному синтезу.

В. Структурный синтез

Формирование топологии фильтра представляет собой ключевую задачу этапа структурного синтеза. Несмотря на значительный прогресс в технологиях планарных акустоэлектронных И устройств, конструктивные и схемотехнические решения остаются во многом традиционными. Они продолжают основываться на использовании базовых элементов: преобразователей встречно-штыревых (ВШП). отражающих структур и ответвителей. Разнообразие топологий достигается за счёт различных способов их комбинирования. Выбор наиболее рациональной архитектуры требует не только инженерной интуиции, но и глубокого понимания физических принципов распространения акустических волн, сопутствующих вторичных эффектов, способных оказывать влияние на функциональные характеристики устройств. Именно на ранней стадии проектирования такое понимание позволяет принять обоснованные оптимальные решения и обеспечить параметры разрабатываемого изделия.

С. Параметричский синтез

Этап параметрического синтеза направлен на определение числовых параметров ранее выбранной топологии, а также на расчёт, анализ и последующую оптимизацию рабочих характеристик устройства. В рамках данного этапа задействуются два ключевых функциональных блока: модуль расчёта, обеспечивающий моделирование характеристик устройства на основе заданных параметров, и модуль оптимизации, реализующий процедуру наилучших значений параметров топологии с учётом заданных критериев.

D. Расчетный блок

Расчётный модуль (рис. 2) отвечает за определение рабочих характеристик устройства на основе входных данных, включающих параметры топологии, свойства используемого материала, а также параметры выбранной физико-математической модели.

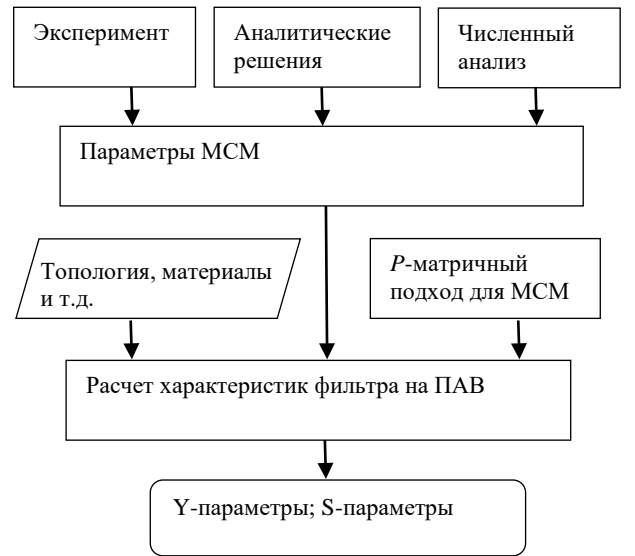


Рис. 2. Принцип расчета частотных характеристик устройств на ПАВ

В рамках настоящей работы в качестве аналитического метода расчета используется модифицированная модель связанных мод (МСМ), реализованная с применением P-матричного формализма [9].

Исходя из того, что топология устройства состоит из некоторого числа ВШП, отражательных структур и зазоров, на данном шаге необходимо указанные блоки разбить на элементарные секции на уровне электродов, элементарных отражателей и непосредственно зазоров. Представление электродов ВШП в виде элементарных блоков P-матриц представлено на рис. 3, где λ – длина акустической волны, p – период следования соседних электродов, a – ширина электрода. R_i , S_i (i=1...4) – входные и выходные волны элементарных секций соответственно.

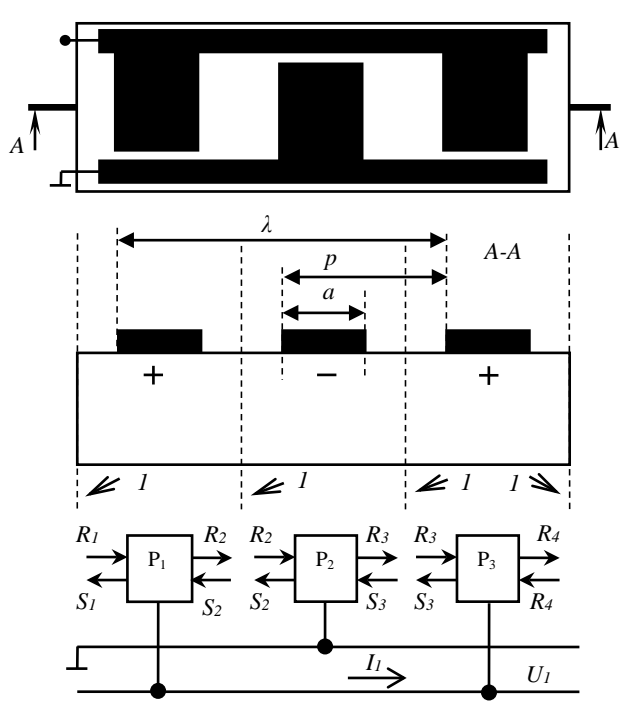


Рис. 3. Электроды ВШП в виде элементарных секций P-матриц: I – границы элементарных секций

Для каждой секции составляется так называемая P-матрица. После чего осуществляется их каскадирование. Подробнее см. работу [9]. P₃₃ – искомая проводимость:

$$\begin{bmatrix} S_i \\ R_{i+1} \\ I_1 \end{bmatrix} = \begin{bmatrix} P_{i_{11}} & P_{i_{12}} & P_{i_{13}} \\ P_{i_{21}} & P_{i_{22}} & P_{i_{23}} \\ P_{i_{31}} & P_{i_{32}} & P_{i_{33}} \end{bmatrix} \begin{bmatrix} R_i \\ S_{i+1} \\ U_1 \end{bmatrix}.$$

Основной задачей расчетного этапа является получение частотных характеристик устройства. Использование модифицированной МСМ позволяет вычислить полный набор *Y*-параметров. На основании полученных данных, с применением стандартных соотношений теории линейных цепей, осуществляется последующее преобразование к S-параметрам.

Важным этапом расчётной процедуры является подключение параметров материала, поскольку параметры, используемые в МСМ, не поддаются прямому определению внутри самой модели. Их значения должны быть получены одним из трёх возможных путей: на основе экспериментальных данных, с использованием аналитических зависимостей либо посредством численного моделирования.

Пример численных расчетов с использованием простых тестовых ячеек для определения параметров МСМ представлен на рис. 4. Расчет собственных частот выполняется в COMSOL Multiphysics с помощью

решателя «Study–Eigenfrequency». Предложенный подход является удобным и эффективным инструментом для анализа характеристик ПАВ (или параметров МСМ) как в различных конфигурациях ВШП и периодических структур, так и для свободной или металлизированной поверхности пьезоэлектрика.

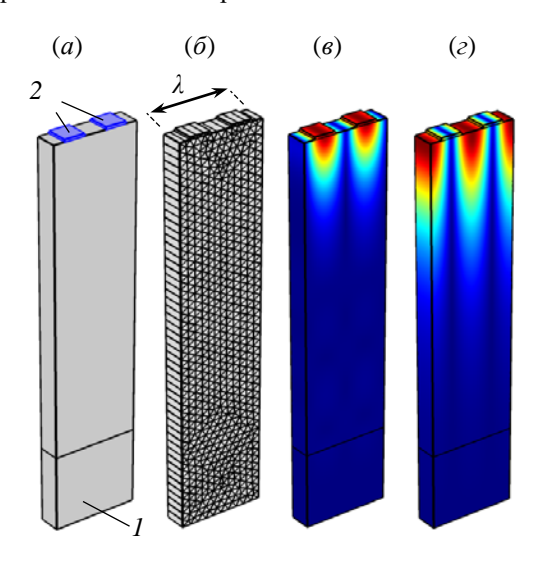


Рис. 4. Пример тестовых ячеек с электродами ВШП: a — поверхность с электродами; δ — пример сетки; e, e — картины механических смещений для ВПАВ на подложке 36° Y-X LiTaO $_3$ для собственных частот. Особенности конструкции: λ — длина волны, I — подложка танталата лития, 2 — металлические электроды

результате расчёта определяется собственных частот ячеек. Примеры распределений механических смещений, соответствующих вытекающей ПАВ (ВПАВ), приведены на рис. 4, в и г соответственно. случае отсутствия электродов наблюдается единственная собственная частота, по которой рассчитывается фазовая скорость ПАВ. При наличии электродов система характеризуется ДВVМЯ собственными частотами, что позволяет определить как фазовую скорость, так и коэффициент отражения.

Е. Блок оптимизации

Модуль оптимизации предназначен для решения задач нахождения экстремумов целевой функции (ЦФ) с применением различных методов [7, 8]. ограничений на варьируемые параметры, а также выраженная многоэкстремальность ЦФ, как правило, приводит к существенному увеличению вычислительных и временных затрат. В разработанном алгоритме в качестве основы использован метод случайного поиска, реализованный на базе модифицированного алгоритма обеспечивающего «имитании отжига». высокую вероятность нахождения глобального оптимального конфигурация решения. Начальная системы формируется случайным образом пределах значений параметров, определённых пользователем. В рамках выбранной архитектуры устройства оптимизация осуществляется исключительно по геометрическим параметрам топологии. Количество оптимизируемых параметров зависит от конкретной реализации может архитектурной фильтра И десятков до варьироваться от нескольких сотен. Преимущество алгоритмов случайного поиска заключается в их способности эффективно обрабатывать многомерные задачи, позволяя находить рациональные решения в условиях высокой размерности пространства переменных.

Постановка задачи оптимизации соответствует технической спецификации фильтра, представленной на рис. 5.

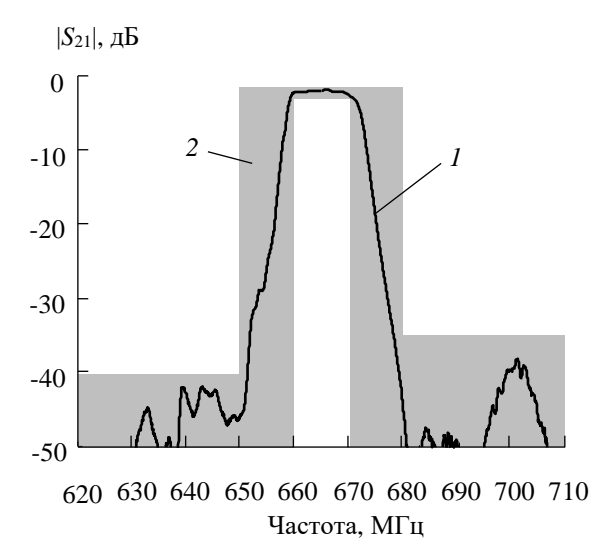


Рис. 5. Типовой коэффициент передачи фильтра (1), вписанный в рамки спецификации (2)

Общая постановка задачи оптимизации:

$$\max(f(x)), x = (x_1, x_2, :, x_N) \text{ if } x_i \in [b, d], i = \{1, 2...N\},\$$

где f(x) — максимизируемая ЦФ, имеющая ограниченное число экстремумов.

В данном случае задача оптимизации является многокритериальной, поскольку необходимо учитывать одновременно несколько параметров фильтра. Для приведения задачи к удобному для численного решения виду применяется метод сведения к единому комплексному критерию — ЦФ, которая учитывает совокупное отклонение выходных параметров от заданных требований. Такой подход позволяет упростить процесс оптимизации и использовать эффективные методы поиска экстремумов:

$$CF = w_1 f_1(x) \times w_2 f_2(x) \times w_3 f_3(x) \times \dots \times w_N f_N(x),$$

где $f_i(x)$ — целевая функция частного критерия; w_i — весовой коэффициент, определяющий приоритет частного критерия в общей задаче оптимизации; N — число критериев.

Для прикладных задач ЦФ часто имеет множество локальных экстремумов. В переборных методах крупный шаг снижает точность, мелкий — увеличивает вычислительные затраты. В случайных методах результат зависит от числа итераций и корректности начальных ограничений параметров.

F. Технологический этап

Характеристики ПАВ-устройств в значительной степени зависят от технологических возможностей их изготовления. Технологические факторы влияют как на структурный синтез, так и на параметры МСМ и точность моделирования. В частности:

 Метод литографии (прямая или обратная) определяет профиль электродов и, соответственно, параметры МСМ, учитываемые в аналитических моделях.

- Минимальная ширина электрода ограничивает выбор типа ВШП и архитектуры фильтра, что напрямую влияет на рабочую частоту.
- Выбор технологического окна критичен для минимизации производственных погрешностей.

На завершающем этапе необходимо обеспечить воспроизводимость изделий и соответствие расчетных и экспериментальных характеристик, что требует высокой точности на всех этапах производства.

III. РЕЗУЛЬТАТЫ РАСЧЕТА И ОПТИМИЗАЦИИ

На рис. 6 представлены результаты процесса оптимизации параметров фильтра. На рис. 7 представлены результаты расчета и эксперимента.

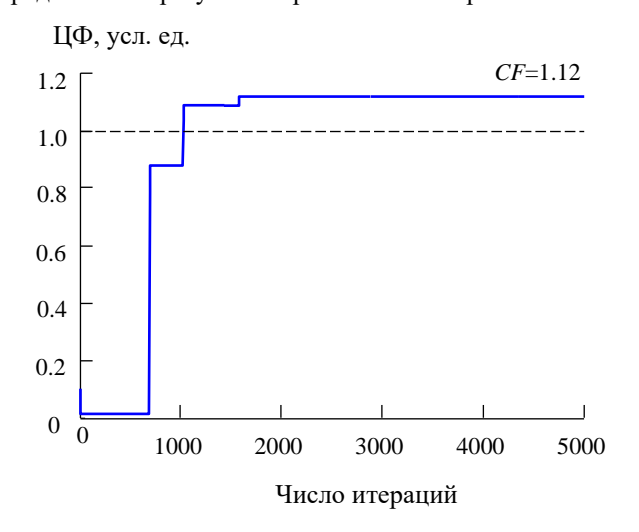


Рис. 6. Работа оптимизационного алгоритма на примере построения ЦФ в зависимости от числа итераций

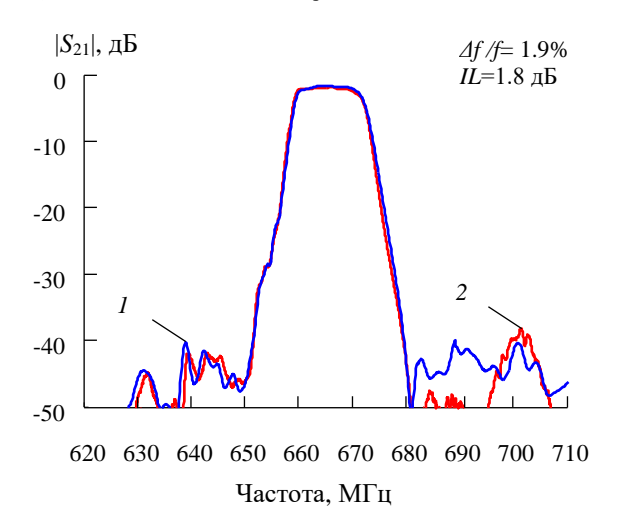


Рис. 7. Коэффициент передачи фильтра – сравнение результата расчета (1) и эксперимента (2)

Максимальное число итераций было установлено равным 5000. Достижение значения целевой функции ЦФ>1, удовлетворяющего требованиям спецификации, произошло на 1025-й итерации. Уточняющий поиск в окрестности найденного оптимума позволил дополнительно улучшить значение ЦФ. Время одной итерации – 2 сек.

Из сравнения характеристик видно, что достигнуто хорошее совпадение расчета и эксперимента для фильтра на подложке танталата лития (36° Y-X LiTaO₃). Минимальное вносимое затухание фильтра составило не более 1.8 дБ, относительная полоса пропускания порядка 1.9%.

IV. ЗАКЛЮЧЕНИЕ

В работе представлен подход к автоматизированному проектированию полосовых фильтров на ПАВ, включающий оригинальный метод оптимизации топологии на основе модифицированного алгоритма «имитации отжига», реализованный комплекса. Апробация методики программного примере расчёта и оптимизации выполнена на фильтра на вытекающих ПАВ резонаторного использованием 36° Y-X LiTaO₃.

Предложенный подход обеспечивает высокоточное прогнозирование характеристик на этапе моделирования, снижая потребность в экспериментальных итерациях и повышая эффективность разработки. Результаты моделирования на основе модифицированной МСМ демонстрируют хорошее совпадение с экспериментом, что подтверждает адекватность предложенного подхода. Разработанная система может рассматриваться как эффективный инструмент для анализа и проектирования полосовых резонаторных фильтров на ПАВ.

Благодарность

Автор выражает признательность Генеральному директору – главному конструктору ООО "АЭК Дизайн" Реуту В.Р. за предоставление экспериментальных данных.

Список литературы

- [1] Гуляев Ю.В. Акустоэлектроника (исторический обзор) // Успехи физ. наук. 2005. Т. 175. № 8. С. 887–895.
- [2] Фильтры на ПАВ с малыми потерями одно из главных конкурентных преимуществ техники ПАВ / А.С. Багдасарян, Ю.В. Гуляев, С.А. Доберштейн, Т.В. Синицына // Техника радиосвязи. 2019. № 3 (42). С. 86–98.
- [3] Прапорщиков В., Орлов В. Фильтры на ПАВ. Краткий обзор и методы расчета // СВЧ-электроника. 2020. № 3. С. 40–47.
- [4] Койгеров А.С. Применение метода конечных элементов для расчета параметров поверхностных акустических волн и устройств на их основе // Микроэлектроника. 2024. Т. 53. № 2. С. 142–155.
- [5] Darinskii A.N., Weihnacht M., Schmidt H. Symmetry Properties of Acoustic Fields in Piezoelectrics and their Implementation in FEM Simulations of the SAW Propagation // 2010 IEEE International Ultrasonics Symposium Proceedings. 2010. pp. 1894–1897.
- [6] Маринушкин П.С., Левицкий А.А., Фадеев В.О. Оценивание влияния параметров металлизации на рабочие характеристики компонентов на поверхностных акустических волнах // Журн. Сиб. федер. ун-та. Техника и технологии. 2024. Т. 17. № 1. С. 82– 91
- [7] Койгеров А.С., Корляков А.В. Концепция проектирования и оптимизации параметров приборов на поверхностных акустических волнах // Изв. вузов России. Радиоэлектроника. 2024. Т. 27. № 1. С. 17–32.
- [8] Бугаев А.С., Горский В.Б. Система оптимизации выходных характеристик электронных компонент // Радиотехника и электроника. 2009. Т. 54. № 10. С. 1266–1276.
- [9] Дмитриев В.Ф. Вывод модифицированных уравнений связанных поверхностных акустических волн // Радиотехника и электроника. 2009. Т. 54. № 9. С. 1134—1143.